

# Seminarvortrag zur Astro- und Teilchenphysik „Massenbestimmung mittels starkem Gravitationslinseneffekt“

Sebastian Müller

Friedrich-Alexander-Universität Erlangen/Nürnberg

12. November 2007

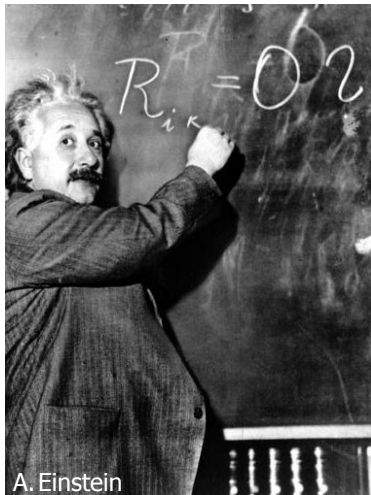


# Gliederung

- 1 Einsteins Relativitätstheorie
- 2 Die Theorie des Gravitationslinseneffekts
  - Punktmassen und diskrete Massenverteilungen als Linse
  - Ausgewählte Beispiele für Massenverteilungen
  - Kritische Linien & Kaustiken
- 3 Anwendungen des Starken Gravitationslinseneffekts
  - Bestimmung der Hubble-Konstanten  $H_0$
  - Bestimmung der Linsenmasse



# Die Allgemeine Relativitätstheorie (ART)



- Theoretische Grundlage für die Beschreibung des Gravitationslinseneffekts
- Veröffentlicht 1916 von Albert Einstein
- Beschreibt die Wechselwirkung zwischen Materie und Raumzeit

Quelle:

<http://www.dradio.de/images/7091/portrait/>



# Die Allgemeine Relativitätstheorie (ART) II



**Grundidee:** Raumzeit wird in Anwesenheit von Masse gekrümmt.

Bei sphärisch symmetrischer Massenverteilung: Beschreibung durch die *Schwarzschild-Metrik*:

$$ds^2 = \left(1 - \frac{2m}{r}\right) dt^2 - \left(1 - \frac{2m}{r}\right)^{-1} dr^2 - r^2 d\theta^2 - \left(r^2 \sin^2 \theta\right) d\varphi^2$$

⇒ Licht wird bei Anwesenheit von Masse abgelenkt

Quelle: <http://www.der-kosmos.de/pics/raumkruemmung-2.jpg>



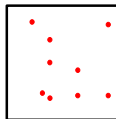
# Die Allgemeine Relativitätstheorie (ART) III

Experimentelle Bestätigung erstmals gelungen am 29. Mai 1919 durch Sir Arthur Eddington bei Sonnenfinsternis in Brasilien

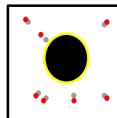


Sir A. S. Eddington

Sternenhimmel ohne Sonne



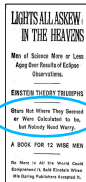
Sternenhimmel mit Sonne



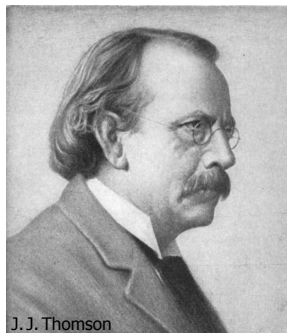
<http://de.wikipedia.org/wiki/Bild:Eddington.2.jpeg>

## Die Allgemeine Relativitätstheorie (ART) IV

The New York Times, 10. November 1919:



**Stars Not Where They Seemed  
or Were Calculated to be,  
but Nobody Need Worry.**



J. J. Thomson

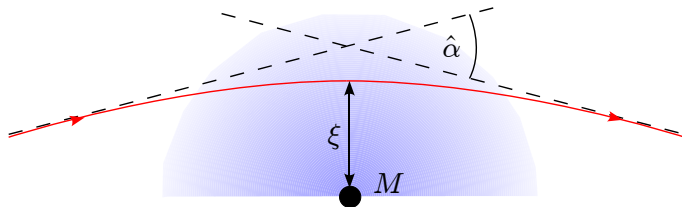
<http://de.wikipedia.org/wiki/Bild:Jj-thomson2.jpg>

**SIR JOSEPH JOHN THOMSON, Präsident der Royal Society:**

*„Dieses Resultat ist eine der größten Errungenschaften des menschlichen Denkens.“*

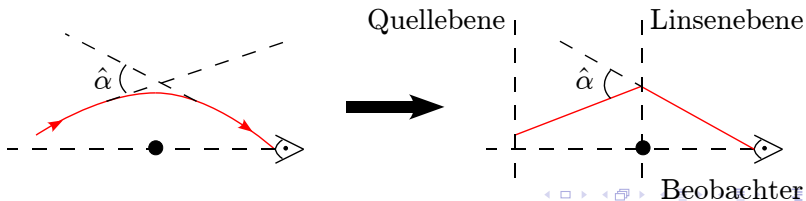


# Der Ablenkwinkel $\hat{\alpha}$ für eine Punktmasse

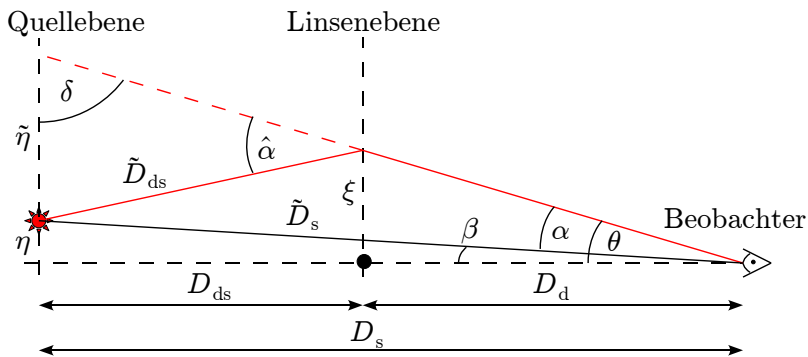


$$ART \implies \hat{\alpha} = \frac{4\gamma M}{c^2 \xi} \quad (\hat{\alpha}_{\odot} \approx 1'',75)$$

Vereinfachung:



# Der reduzierte Ablenkwinkel $\alpha$



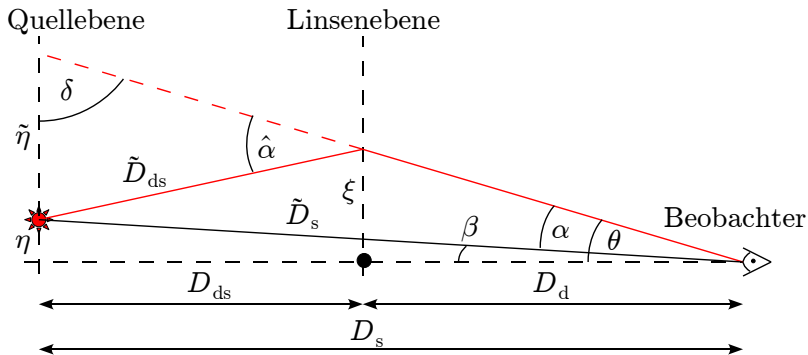
$$\frac{\sin \hat{\alpha}}{\tilde{\eta}} = \frac{\sin \delta}{\tilde{D}_{ds}}, \quad \frac{\sin \alpha}{\tilde{\eta}} = \frac{\sin \delta}{\tilde{D}_s} \implies \tilde{\eta} = \frac{\tilde{D}_{ds} \sin \hat{\alpha}}{\sin \delta} = \frac{\tilde{D}_s \sin \alpha}{\sin \delta}$$

$$\alpha, \hat{\alpha} \ll 1 \implies D_{ds} \hat{\alpha} = D_s \alpha \implies \boxed{\alpha = \frac{D_{ds}}{D_s} \hat{\alpha}}$$





# Die Linsengleichung



$$\alpha(\xi) = \frac{D_{ds}}{D_s} \hat{\alpha} = \frac{D_{ds}}{D_s} \frac{4\gamma M}{c^2 \xi} \quad , \quad \xi = D_d \tan \theta \stackrel{\theta \ll 1}{\approx} D_d \theta$$

$$\Rightarrow \alpha(\theta) = \frac{4\gamma M}{c^2} \frac{D_{ds}}{D_s D_d} \frac{1}{\theta}$$

Linsengleichung :  $\beta = \theta - \alpha(\theta)$



# Allgemeine Lösung der Linsengleichung I

Ausgangspunkt: Linsengleichung

$$\beta = \theta - \frac{4\gamma M}{c^2} \frac{D_{ds}}{D_d D_s} \frac{1}{\theta}$$

Definition: Einsteinwinkel

$$\theta_E = \sqrt{\frac{4\gamma M}{c^2} \frac{D_{ds}}{D_d D_s}}$$

$\implies$  Vereinfachung der Linsengleichung:  $\beta = \theta - \frac{\theta_E^2}{\theta}$

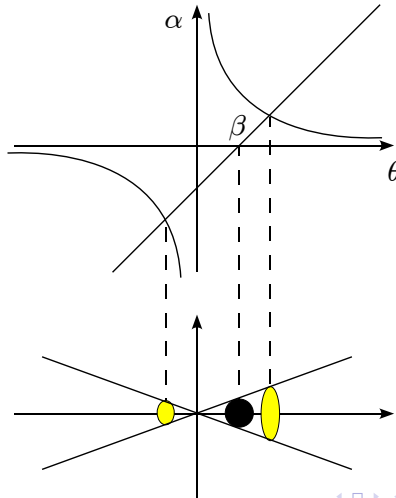
$\implies$  Gleichung mit  $\mathcal{O}(\theta^2)$ :  $\theta^2 - \beta\theta - \theta_E^2 = 0$

$\implies$  2 Lösungen  $\theta_{\pm} = \frac{1}{2} \left( \beta \pm \sqrt{\beta^2 + 4\theta_E^2} \right)$



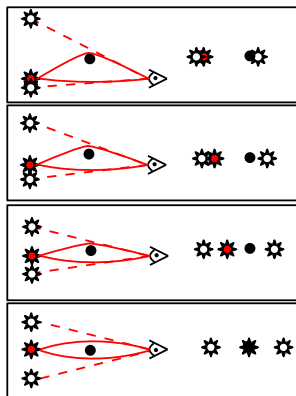
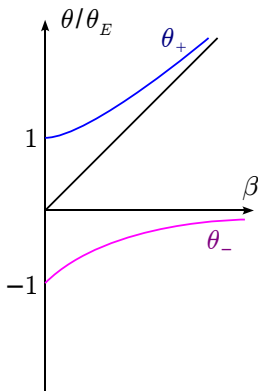
# Allgemeine Lösung der Linsengleichung II

$\alpha(\theta) \propto 1/\theta$  zusammen mit  $\beta = \theta - \alpha(\theta)$



## Allgemeine Lösung der Linsengleichung III

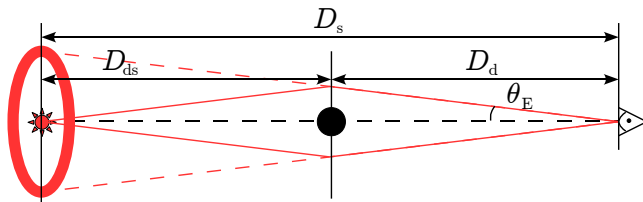
$$\theta_{\pm} = \frac{1}{2} \left( \beta \pm \sqrt{\beta^2 + 4\theta_E^2} \right)$$



# Der Einsteinwinkel $\theta_E$

Annahme: Quelle, Linse und Beobachter sind kollinear (d.h.  $\beta = 0$ )

$$\Rightarrow \theta_{\pm} = \frac{1}{2} \left( \beta \pm \sqrt{\beta^2 + 4\theta_E^2} \right) = \pm\theta_E = \pm \sqrt{\frac{4\gamma M}{c^2} \frac{D_{ds}}{D_s D_d}}$$



Beispiele mit  $D_d = D_{ds}$  :

$$\theta_E^{\odot} \sim \mathcal{O} \text{ (Bogensekunden)}$$

$$\theta_E^{\text{Andr}} \sim \mathcal{O} \text{ (Bogenminuten)}$$

$$\theta_E^{\text{Virgo}} \sim \mathcal{O} (10^1 \text{ Bogenminuten})$$



# Beispiele zu Einsteinringen I

Aufnahme eines 8m Spiegels in Chile (ESO)

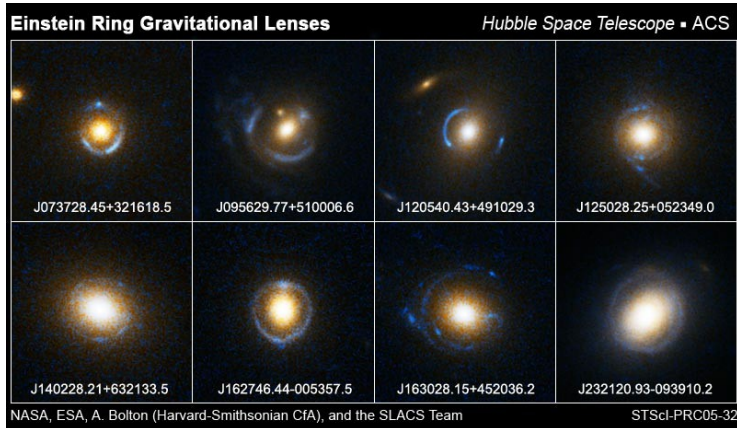


<http://www.planetarium-hamburg.de/media/standard/Einsteinring.jpg>

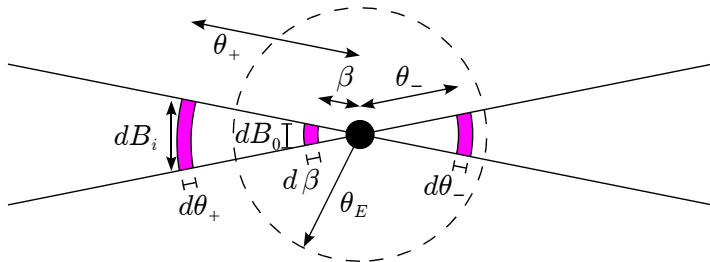


# Beispiele zu Einsteinringen II

Mehrere Einsteinringe, aufgenommen mit dem HST



# Der Verstärkungseffekt I



Verstärkung  $\mu = \frac{\text{Bildhelligkeit}}{\text{Quellhelligkeit}} = \frac{S_i \omega_i}{S_0 \omega_0}$

Satz von Liouville  $\Rightarrow S_i = S_0 \Rightarrow \mu = \frac{\omega_i}{\omega_0}$

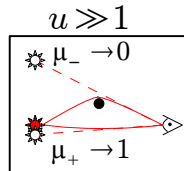
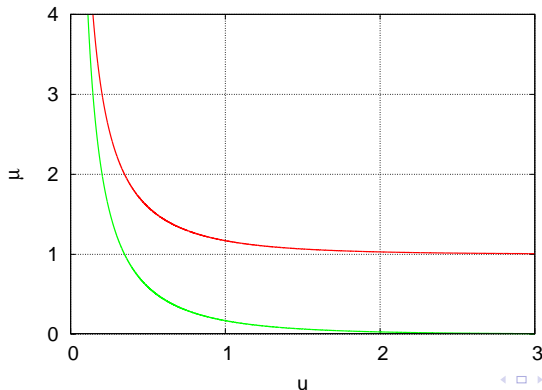
$$\omega_{i0} = B_{i0} \begin{cases} d\theta \\ d\beta \end{cases} \Rightarrow \mu = \frac{B_i d\theta}{B_0 d\beta} = \frac{\theta}{\beta} \frac{d\theta}{d\beta}$$





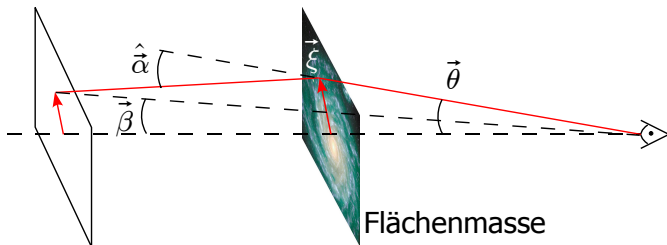
# Der Verstärkungseffekt II

$$\mu_{\pm} = \frac{u^2 + 2}{2u\sqrt{u^2 + 4}} \pm \frac{1}{2} \quad \left( u \equiv \frac{\beta}{\theta_E} \right)$$



# Punktförmige Linse $\longrightarrow$ Viele Punkte

Mehrere Massenpunkte  $\implies$  Superposition  $\hat{\alpha}(\vec{\xi}) = \sum_i \hat{\alpha}_i(\vec{\xi})$



$$\hat{\alpha}_i(\vec{\xi}) = \frac{4\gamma M_i}{c^2} \frac{\vec{\xi} - \vec{\xi}_i}{|\vec{\xi} - \vec{\xi}_i|^2} \implies \hat{\alpha}(\xi) = \frac{4\gamma}{c^2} \sum_i M_i \frac{\vec{\xi} - \vec{\xi}_i}{|\vec{\xi} - \vec{\xi}_i|^2}$$



# Viele Punkte $\longrightarrow$ Diskrete Massenverteilung

Übergang zu diskreter Massenverteilung:  $“\Sigma \longrightarrow \int”$

$$\hat{\alpha}(\vec{\xi}) = \frac{4\gamma}{c^2} \iint_{\mathbb{R}^2} \Sigma(\vec{\xi}') \frac{\vec{\xi} - \vec{\xi}'}{|\vec{\xi} - \vec{\xi}'|^2} d^2\xi',$$

wobei  $\Sigma(\vec{\xi})$  die Flächenmassendichte der Linse am Ort  $\vec{\xi}$  beschreibt.

Déjà-vu: Linsengl.  $\vec{\beta} = \vec{\theta} - \vec{\alpha}(\vec{\theta})$ , wobei  $\vec{\alpha}(\vec{\theta}) \equiv \frac{D_{\text{ds}}}{D_s} \hat{\alpha}(D_d \vec{\theta})$

$\implies$  Lösung  $\vec{\alpha}(\vec{\theta}) = \frac{1}{\pi} \iint_{\mathbb{R}^2} \kappa(\vec{\theta}') \frac{\vec{\theta} - \vec{\theta}'}{|\vec{\theta} - \vec{\theta}'|^2} d^2\theta'$

mit  $\kappa(\vec{\theta}) := \frac{\Sigma(D_d \vec{\theta})}{\Sigma_{\text{cr}}}$ : Dimensionslose Flächenmassendichte

und  $\Sigma_{\text{cr}} := \frac{c^2}{4\pi\gamma} \frac{D_s}{D_d D_{\text{ds}}}$ : Kritische Flächenmassendichte



# Die Jacobimatrix der Linsengleichung

Lokal lässt sich die Gravitationslinse durch die Jacobi-Matrix der Abbildung (Linsengleichung)

$$\mathcal{A}(\vec{\theta}) = \frac{\partial \vec{\beta}}{\partial \vec{\theta}}$$

beschreiben. Die einzelnen Matrixelemente ergeben sich hierbei zu

$$\mathcal{A}_{ij} = \frac{\partial \beta_i}{\partial \theta_j}.$$

Es lässt sich nun zeigen, daß sich der Verstärkungsfaktor  $\mu$  allgemein aus

$$\mu = \left| \det(\mathcal{A}) \right|^{-1} = \left| \det \left( \frac{\partial \vec{\beta}}{\partial \vec{\theta}} \right) \right|^{-1}$$

bestimmen lässt.



# Abbildungsgl. für axial-symmetr. Massenverteilungen I

Hierbei gilt, daß  $\Sigma(\vec{\xi}) = \Sigma(|\vec{\xi}|) \equiv \Sigma(\xi)$ . Der Ablenkwinkel  $\hat{\alpha}$  ist in diesem Fall immer nach innen gerichtet.

$$\hat{\alpha}(\vec{\xi}) = \frac{4\gamma}{c^2} \iint_{\mathbb{R}^2} \Sigma(\vec{\xi}') \frac{\vec{\xi} - \vec{\xi}'}{|\vec{\xi} - \vec{\xi}'|^2} d^2\xi' \quad \Longrightarrow \quad \hat{\alpha}(\xi) = \frac{4\gamma M(\xi)}{c^2 \xi}$$

mit  $M(\xi) := \int_0^\xi \Sigma(\xi') d\xi'$  Masseninhalte bis  $\xi$ .

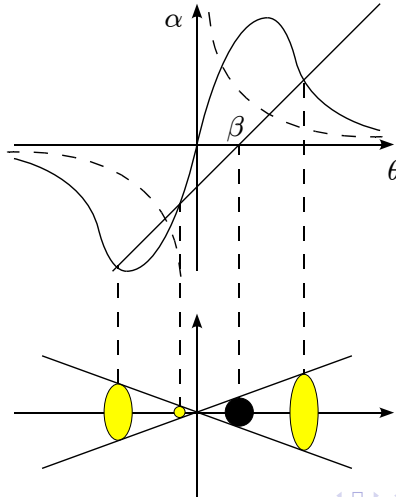
$$\vec{\alpha}(\vec{\theta}) = \frac{1}{\pi} \iint_{\mathbb{R}^2} \kappa(\vec{\theta}') \frac{\vec{\theta} - \vec{\theta}'}{|\vec{\theta} - \vec{\theta}'|^2} d^2\theta' \quad \Longrightarrow \quad \alpha(\theta) = \frac{m(\theta)}{\theta}$$

mit  $m(\theta) := 2 \int_0^\theta \theta' \kappa(\theta') d\theta'$  dimensionsloser Masseninhalte bis  $\theta$ .



# Abbildungsgl. für axial-symmetr. Massenverteilungen II

$$\alpha(\theta) = m(\theta)/\theta \text{ zusammen mit } \beta = \theta - \alpha(\theta)$$



# Die isotherme Sphäre I

Annahme: Masse  $M(r) \propto r \implies \rho(r) \propto 1/r^2$

Problem: Gilt nicht für  $r \rightarrow 0$  und  $r \rightarrow \infty$ .

Trotzdem sehr gute Näherung!

$$\implies \Sigma(\xi) \propto 1/\xi \implies M(\xi) \propto \xi \implies \hat{\alpha}(\xi) \propto \frac{M(\xi)}{\xi} \implies \hat{\alpha}(\xi) = 4\pi \left(\frac{\sigma_v}{c}\right)^2$$

$\sigma_v$ : Geschwindigkeitsdispersion des Linsenobjekts

$$\implies \alpha(\theta) = 4\pi \left(\frac{\sigma_v}{c}\right)^2 \left(\frac{D_{ds}}{D_s}\right) =: \theta_E \text{ Einsteinwinkel}$$

Lösungen der Linsengleichung  $\beta = \theta - \theta_E$ :

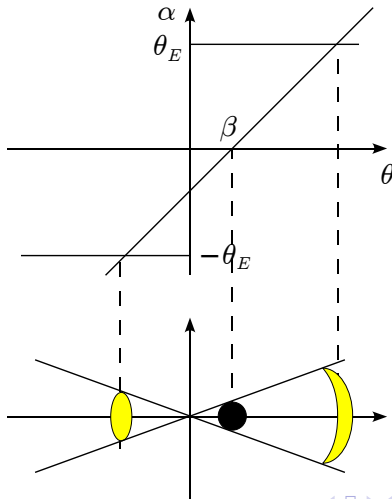
- $|\beta| > \theta_E$ : Ein Bild auf Quellseite  $\theta = \beta + \theta_E$
- $|\beta| < \theta_E$ : Zwei Lösungen:  $\theta_1 = \beta + \theta_E$  und  $\theta_2 = \beta - \theta_E$

$$\implies \Delta\theta = 2\theta_E = \text{const}$$



# Die isotherme Sphäre II

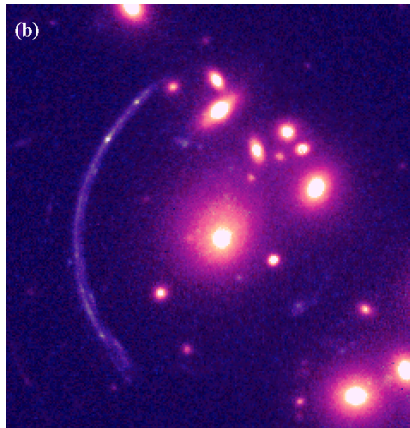
$$\alpha(\theta) = m(\theta)/\theta = \pm\theta_E \text{ zusammen mit } \beta = \theta - \alpha(\theta)$$





# Beispiel zur isothermen Sphäre: Giant Arcs

Haufen C12244, entdeckt 1986



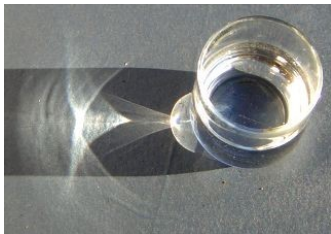
# Kritische Linien & Kaustiken

Es können Linseneffekte auftreten, für die formal gilt:

$$\mu \longrightarrow \infty$$

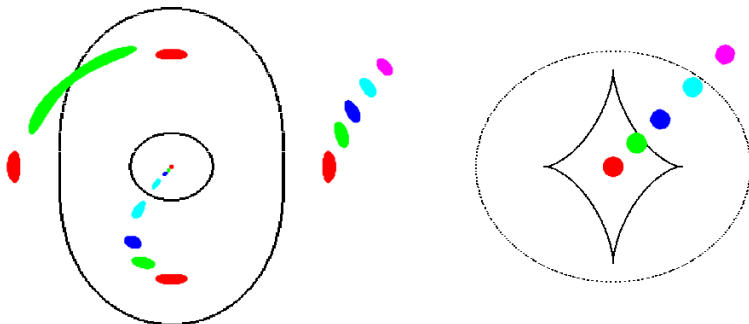
Aber: Aufgrund der Wellennatur des Lichtes gibt es keine  
“unendlichen” Verstärkungen!

Allgemeine Beispiele: (aus: [http://de.wikipedia.org/wiki/Kaustik\\_%28optik%29](http://de.wikipedia.org/wiki/Kaustik_%28optik%29))



# Geometrie einer elliptischen Linse I

Geometrie einer Elliptischen Linse:



Links: Bildpositionen und Kritische Linien

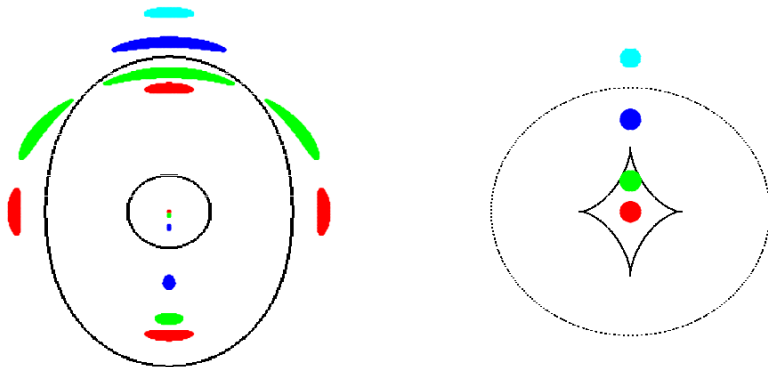
Rechts: Quellpositionen und Kaustiken

aus: Peter Schneider: Einführung in die extragalaktische Astronomie und Kosmologie



# Geometrie einer elliptischen Linse II

Geometrie einer Elliptischen Linse:



Links: Bildpositionen und Kritische Linien

Rechts: Quellpositionen und Kaustiken

aus: Peter Schneider: Einführung in die extragalaktische Astronomie und Kosmologie

# Beispiel einer elliptischen Linse I

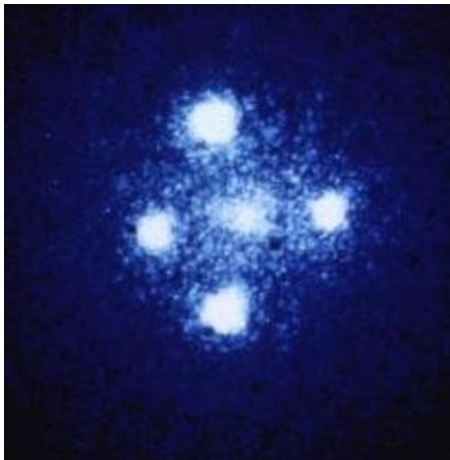
Das Einsteinkreuz:



<http://antwrp.gsfc.nasa.gov/apod/ap070311.html>

## Beispiel einer elliptischen Linse II

Das Einsteinkreuz: 4 Bilder eines Quasars, aufgen. mit dem HST

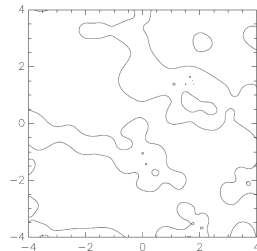
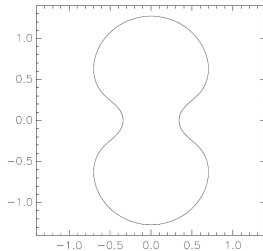


[http://www.einstein-online.info/en/images/elementary/einsteincross\\_hst.jpg](http://www.einstein-online.info/en/images/elementary/einsteincross_hst.jpg)

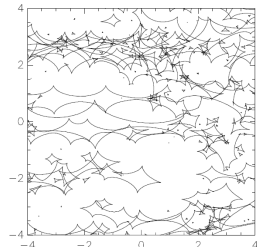
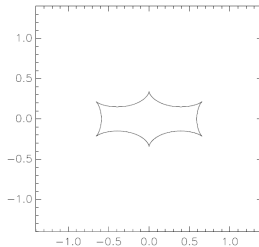


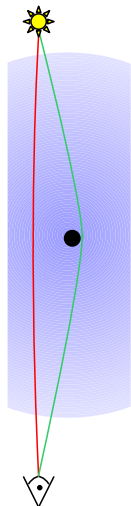
# Geometrie einer beliebigen Linse

Kritische Linien



Kaustiken



Time Delay  $\implies H_0$ 

Auftreten des sog. Time Delays bei Mehrfachbildern in Gravitationslinsen:

$$\left( \begin{array}{c} \text{time} \\ \text{delay} \end{array} \right) = \left( \begin{array}{c} \text{geometric} \\ \text{delay} \end{array} \right) + \underbrace{\left( \begin{array}{c} \text{gravitational} \\ \text{delay} \end{array} \right)}_{\text{Shapiro-Effekt}}$$

Man kann zeigen, daß der Time Delay  $\tau \propto 1/H_0$ .

Meßbar, falls die Quelle variiert.

$\implies$  Hubble-Konstante bestimmbar.





# Die Hubble-Konstante $H_0$ : Meßergebnisse

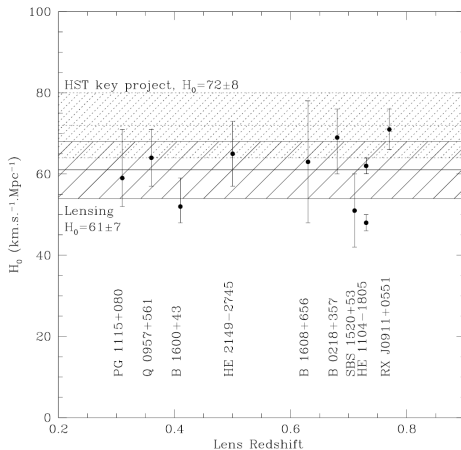


Figure 1. Time delay measurements of the Hubble constant, circa 2003 (Courbin 2003).



# Prinzipielles Vorgehen bei isothermer Sphäre

- Bestimmung des Einsteinwinkels  $\theta_E$  durch Messung des Bildabstands  $\Delta\theta \stackrel{!}{=} 2\theta_E$  bei Doppelbildern oder direkten Fit eines Einsteinrings mit Radius  $\theta_E$  durch einen Giant Arc.
- Linsengleichung:  $\beta = \theta - m(\theta)/\theta \xrightarrow{\text{falls } \beta=0} \theta = m(\theta)/\theta$
- Für  $\beta = 0$  muß aus Symmetriegründen gelten, daß  $\theta_+ \stackrel{!}{=} \theta_-$ .  
Somit ist hier  $\theta = \theta_E$ .

$$\implies \theta_E^2 = m(\theta_E) = \frac{4\gamma M(\theta_E)}{c^2} \frac{D_{ds}}{D_d D_s}$$

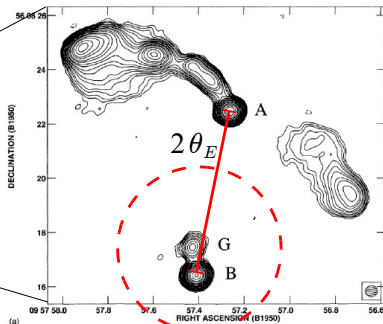
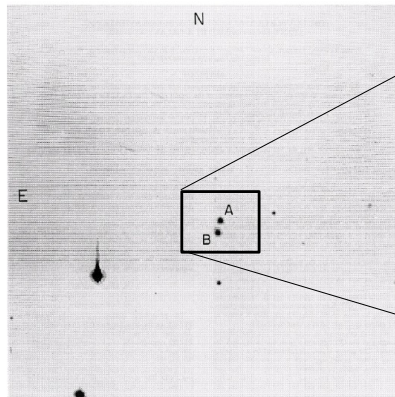
- Linsenmasse innerhalb des Einsteinradius bestimmbar:

$$M(\theta_E) = \frac{\theta_E^2 c^2}{4\gamma} \frac{D_d D_s}{D_{ds}}$$

$\implies$  **Sehr genaue Möglichkeit, Massen in der extragalakt. Astronomie zu bestimmen (Ungenauigkeiten bis hin zu wenigen Prozent)**



# Der Doppelquasar QSO 0957+561



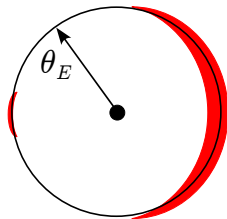
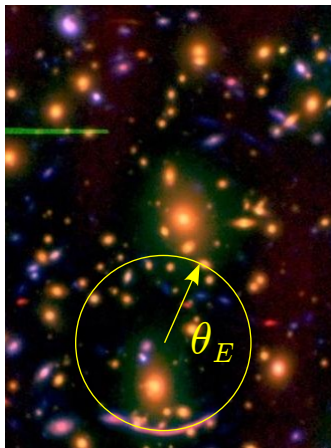
aus: Peter Schneider: Einführung in die  
extragalaktische Astronomie und Kosmologie

$$2\theta_E \approx 6''_1 \implies M(\theta_E) \gg M_{\text{erwartet}}(\theta_E)$$

$\implies$  Linseneffekt hervorgerufen durch Galaxienhaufen anstatt durch Einzelgalaxie



# Giant Arcs: Der Superhaufen A 370



$$\Rightarrow M(\theta_E) \approx 6,6 \cdot 10^{13} M_{\odot}$$

**Fazit:** Masse-Leuchtkraft-Verhältnis:

$$\left[ \left( \frac{M}{L} \right)_{\text{gemessen}} / \left( \frac{M}{L} \right)_{\text{erwartet}} \right] \approx 100$$

# Literaturverzeichnis

- Peter Schneider: Einführung in die extragalaktische Astronomie und Kosmologie, Springer-Verlag
- Ramesh Narayan und Matthias Bartelmann: Lectures on gravitational lensing, <http://www.ita.uni-heidelberg.de/~msb/Publications/Proceedings/JeruLect.pdf>
- Andreas Helms: Anwendung des Mikrogravitationslinseneffekts zur Untersuchung astronomischer Objekte, Dissertation, Uni Potsdam
- Stella Seitz: Astrophysikalisches Praktikum: Der starke Gravitationslinseneffekt, Universitäts-Sternwarte München
- Matthias Bartelmann: Der Einfluß einer Kombination von Mikro- und Makrolinsen auf die Statistik kosmologische Objekte, Diplomarbeit, LMU München
- John A. Peacock: Cosmological Physics, Cambridge University Press
- Sjur Refsdal (Hamburg Observatory, Germany) & Jean Surdej (Institut d'Astrophysique Liège, Belgium): Gravitational Lenses



# Danke schön!!!

## Vielen Dank für die freundliche Aufmerksamkeit!

Besonders bedanken möchte ich mich bei den Herren Profs

- Jörn Wilms
- Uli Heber

für die vielen nützlichen Tips allgemein zu Präsentationen und  
speziell dem Thema des Gravitationslinseneffekts!

Außerdem bei meiner Theo-Übungspartnerin Stefanie Wagner, die  
in letzter Zeit viele Theo-Hausaufgaben wie selbstverständlich  
alleine erledigt hat. Sorry!